

ВЛИЯНИЕ ПАРАМЕТРОВ ПОГЛОТИТЕЛЯ НА АКУСТИЧЕСКИЕ ХАРАКТЕРИСТИКИ ЦИЛИНДРИЧЕСКОЙ КАМЕРЫ СГОРАНИЯ

В. М. Сильверстов

(Москва)

Установка перфорированных звукопоглотителей на стенках форсажных камер ГТД приводит к повышению декремента собственных колебаний объема газа в камере и тем самым препятствует возникновению интенсивных звуковых колебаний, разрушающих камеру сгорания. Эффективность поглотителя следует оценивать по величине декремента собственных колебаний. Однако методика расчета декрементов отсутствует, и оценку эффективности поглотителя в настоящее время проводят косвенно — по величине коэффициента поглощения (отношение поглощенной энергии к энергии волны, нормально падающей на поверхность поглотителя). Такая оценка недостаточна, так как не учитывает сильное влияние длины и положение поглотителя на устойчивость процесса горения, и не всегда справедлива. В связи с этим в настоящей работе приводятся результаты исследования низших (наиболее опасных) форм тангенциально-продольных колебаний и излагается методика расчета декремента, частоты и звукового поля этих колебаний.

Исследования проведены в предположении, что камера сгорания представляет собой цилиндрическую полость, состоящую из двух участков (рис. 1), заполненных газом постоянной температуры (T_1 на участке 1 и $T_2 > T_1$ на участке 2, $T_2 > T_1$). Поскольку скорость среднего движения газа в камере сгорания значительно меньше скорости звука ($M < 0,2$), влиянием этого движения на распространение звука можно пренебречь. Акустический поглотитель можно разместить в любой части камеры, поэтому в общем случае каждый из участков разбит на три секции (1, 3 — без поглотителя, 2 — с поглотителем). На участке 1 поглотитель расположен между сечениями I_1-I_1 и I_2-I_2 , а на участке 2 — между сечениями II_1-II_1 и II_2-II_2 . Координата \bar{x} на рис. 1 — это осевая координата, отнесенная к общей длине (L) камеры. Считалось, что поверхность, разделяющая холодный и горячий газ, при колебаниях перемещается вместе с холодной средой, вследствие чего колебательные давления и осевая скорость при переходе через неподвижное сечение $I-I$ не изменяются. Поверхности, ограничивающие объем полости в отсутствие поглотителей, принимались акустически абсолютно жесткими, а импеданс поглотителей — однородным, зависящим от частоты колебаний (Res).

Поскольку среда на каждом из участков однородна, уравнения распространения звука совпадают с обычными волновыми уравнениями, которые после введения потенциала колебательной скорости и предположения о

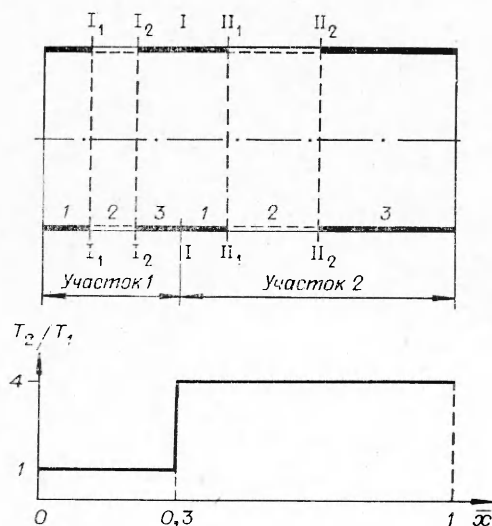


Рис. 1.

гармоничности колебаний сводятся к уравнениям Гельмгольца относительно комплексной амплитуды потенциала $\dot{\Psi}$

$$\Delta \dot{\Psi}_{jl} + (s/a_j)^2 \dot{\Psi}_{jl} = 0, \quad (1)$$

где j — индекс участка, $j=1, 2$; l — индекс секции, $l=1, 2, 3$; s — комплексная частота колебаний; a — скорость звука.

Граничные условия в цилиндрических координатах x, r, φ :

$$\partial \dot{\Psi}_{11} / \partial x - is \beta_{\text{вх}} / a_1 \cdot \dot{\Psi}_{11} = 0 \quad \text{при } x=0, 0 \leq r \leq R,$$

$$\frac{\partial \dot{\Psi}_{jl}}{\partial r} = 0 \quad \text{при } r=R \quad \begin{cases} 0 \leq x \leq L_{11}, & j=1, l=1, \\ L_{11} + L_{12} \leq x \leq L_1, & j=1, l=3, \\ L_1 < x < L_1 + L_{21}, & j=2, l=1, \\ L - L_{22} \leq x < L, & j=2, l=3, \end{cases} \quad (2)$$

$$\frac{\partial \dot{\Psi}_{j2}}{\partial r} - \frac{is \beta_{\text{в}}}{a_j} \dot{\Psi}_{j2} = 0 \quad \text{при } r=R \quad \begin{cases} L_{11} \leq x \leq L_{11} + L_{12}, & j=1, \\ L_1 + L_{21} \leq x \leq L - L_{22}, & j=2, \end{cases}$$

$$\partial \dot{\Psi}_{23} / \partial x - is \beta_{\text{вых}} / a_2 \cdot \dot{\Psi}_{23} = 0 \quad \text{при } x=L, 0 \leq r \leq R,$$

где L_{jl} — длина l -й секции j -го участка; L_1 и R — длина холодного участка и радиус полости; $\beta_{\text{вх}}$, $\beta_{\text{вых}}$ — акустические проводимости на входе и на выходе из полости; $\beta_{\text{с}}$ — проводимость поглотителя. Из равенства давлений и осевых скоростей в сечении, смежном для секций (j, l) и $(j, l+1)$, следует

$$\rho_{jl} \dot{\Psi}_{jl} = \rho_{j+1} \dot{\Psi}_{j+1}; \quad \partial \dot{\Psi}_{jl} / \partial x = \partial \dot{\Psi}_{j+1} / \partial x. \quad (3)$$

Задача состоит в нахождении значений s , при которых уравнения $L_{jl}(\dot{\Psi}_{jl}) = s^2 \dot{\Psi}_{jl}$ ($j=1, 2$; $l=1, 2, 3$) имеют ненулевые решения из области определения оператора $L_{jl} = \Delta$, удовлетворяющие граничным условиям (2) и условиям стыковки (3); Δ — оператор Лапласа. Задача решается численно с использованием ЭВМ М-220, при этом считается, что условия (3) выполнимы при конечном числе (t) значений радиуса (по аналогии с [1, т. I]).

Решения в каждой секции ищем в виде рядов, ограничиваясь конечным числом (равным t) слагаемых и предполагая, что зависимость решений от угла для всех секций одинакова

$$\dot{\Psi}_{j1} = \cos(m\varphi) \sum_{n=0}^{t-1} \left\{ I_m(\pi \alpha_{mn} r / R) \left[A_{1mn}^{(j)} e^{ik_{mn}^{(j)} x} + A_{2mn}^{(j)} e^{-ik_{mn}^{(j)} x} \right] \right\}$$

при $0 \leq x \leq L_{11}$ ($j=1$), $L_1 \leq x \leq L_1 + L_{21}$ ($j=2$);

$$\dot{\Psi}_{j2} = \cos(m\varphi) \sum_{n=0}^{t-1} \left\{ I_m(\pi \alpha_{mn} r / R) \left[B_{1mn}^{(j)} e^{ik_{mn}^{(j)} x} + B_{2mn}^{(j)} e^{-ik_{mn}^{(j)} x} \right] \right\} \quad (4)$$

при $L_{11} \leq x \leq L_{11} + L_{12}$ ($j=1$), $L_1 + L_{21} \leq x \leq L - L_{22}$ ($j=2$);

$$\dot{\Psi}_{j3} = \cos(m\varphi) \sum_{n=0}^{t-1} \left\{ I_m(\pi \alpha_{mn} r / R) \left[C_{m\text{н}}^{(j)} e^{ik_{mn}^{(j)} x} + C_{2mn}^{(j)} e^{-ik_{mn}^{(j)} x} \right] \right\}$$

при $L_1 + L_{12} \leq x \leq L_1$ ($j=1$), $L - L_{21} \leq x \leq L$ ($j=2$).

Здесь индекс ε означает, что величина относится к секции с поглотителем; m и n — целые числа; I_m — функции Бесселя; $k_{mn}^{(j)}$ и $k_{mn\varepsilon}^{(j)}$ — вол-

новые числа, α_{1mn} и α_{2mn} , как следует из граничных условий на цилиндрической стенке полости (в силу линейной независимости выражений в квадратных скобках), суть корни следующих уравнений:

$$\begin{aligned} \partial I_m / \partial \alpha_{1mn} \cdot (\pi \alpha_{mn}) &= 0, \quad n = 1, 2, \dots, \\ \partial I_m / \partial (\pi \alpha_{2mn}) (\pi \alpha_{mn}) - is/a_1 \cdot \beta_3 I_m (\pi \alpha_{mn}) &= 0, \quad n = 1, 2, \dots \end{aligned}$$

Из граничного условия во входном сечении полости и линейной независимости функций Бесселя следует, что $A_{1mn}^{(1)}$ и $A_{2mn}^{(1)}$ связаны соотношением

$$A_{1mn}^{(1)} = \frac{k_{mn}^{(1)} + \frac{s}{a_1} \beta_{\text{вх}}}{k_{mn}^{(1)} - \frac{s}{a_1} \beta_{\text{вх}}} A_{2mn}^{(1)}. \quad (5)$$

Будем считать, что условия стыковки выполнимы при значениях радиуса $r_k = (t-k)/(t-1) \cdot R$ ($k=1, 2, \dots, t$). В этом случае равенства (3) в сечении I_1-I_1 (см. рис. 1) имеют вид

$$\begin{aligned} \sum_{n=0}^{t-2} I_m \left(\pi \alpha_{1mn} \frac{t-k}{t-1} \right) B_{1n}^{(1)} &= \sum_{n=0}^{t-2} I_m \left(\pi \alpha_{mn} \frac{t-k}{t-1} \right) A_{1n}^{(1)}, \\ \sum_{n=0}^{t-2} I_m \left(\pi \alpha_{2mn} \frac{t-k}{t-1} \right) B_{2n}^{(1)} &= \sum_{n=0}^{t-2} I_m \left(\pi \alpha_{mn} \frac{t-k}{t-1} \right) A_{2n}^{(1)}, \end{aligned} \quad (6)$$

$$k = 1, 2, \dots, (t-1),$$

где

$$\begin{aligned} A_{1n}^{(1)} &= A_{1mn}^{(1)} e^{ik_{mn}^{(1)} L_{11}} + A_{2mn}^{(1)} e^{-ik_{mn}^{(1)} L_{11}}, \\ A_{2n}^{(1)} &= [A_{1mn}^{(1)} e^{ik_{mn}^{(1)} L_{11}} - A_{2mn}^{(1)} e^{-ik_{mn}^{(1)} L_{11}}] k_{mn}^{(1)} L_{11}; \\ B_{1n}^{(1)} &= B_{1mn}^{(1)} e^{ik_{mn}^{(1)} L_{11}} + B_{2mn}^{(1)} e^{-ik_{mn}^{(1)} L_{11}}, \\ B_{2n}^{(1)} &= [B_{1mn}^{(1)} e^{ik_{mn}^{(1)} L_{11}} - B_{2mn}^{(1)} e^{-ik_{mn}^{(1)} L_{11}}] k_{mn}^{(1)} L_{11}. \end{aligned}$$

Отметим, что при $i=t$ уравнения (6) обращаются в тождества, так как $I_m(0) \equiv 0$. В силу (5) столбцы коэффициентов

$$A_1^{(1)} = \begin{Bmatrix} A_{11}^{(1)} \\ \vdots \\ A_{1t-1}^{(1)} \end{Bmatrix}, \quad A_2^{(1)} = \begin{Bmatrix} A_{21}^{(1)} \\ A_{22}^{(1)} \\ \vdots \\ A_{2t-1}^{(1)} \end{Bmatrix}$$

связаны матричным уравнением $A_2^{(1)} = \Lambda A_1^{(1)}$, где

$$\Lambda = \begin{Bmatrix} \Lambda_1 & 0 & \dots & 0 \\ 0 & \Lambda_2 & \dots & 0 \\ \vdots & \vdots & \ddots & \vdots \\ 0 & \dots & \dots & \Lambda_{t-1} \end{Bmatrix};$$

$$\Lambda_k = \frac{k_{mn}^{(1)} L_{11} \left[\left(k_{mn}^{(1)} L_{11} + \frac{s \beta_{\text{вх}}}{a_1} \right) e^{ik_{mn}^{(1)} L_{11}} - \left(k_{mn}^{(1)} L_{11} - \frac{s \beta_{\text{вх}}}{a_1} \right) e^{-ik_{mn}^{(1)} L_{11}} \right]}{\left(k_{mn}^{(1)} L_{11} + \frac{s \beta_{\text{вх}}}{a_1} \right) e^{ik_{mn}^{(1)} L_{11}} + \left(k_{mn}^{(1)} L_{11} - \frac{s \beta_{\text{вх}}}{a_1} \right) e^{-ik_{mn}^{(1)} L_{11}}}$$

В матричной форме уравнения (6) запишутся

$$B_1^{(1)} = \Lambda_1^{(1)} A_1^{(1)}, \quad B_2^{(1)} = \Lambda_1^{(1)} \Lambda A_1^{(1)} = \Lambda_2^{(1)} A_1^{(1)},$$

где $B_1^{(1)}, B_2^{(1)}$ — столбцы коэффициентов $B_{1n}^{(1)}$ и $B_{2n}^{(1)}$, $\Lambda_1^{(1)}$ и $\Lambda_2^{(1)}$ — квадратные матрицы.

Коэффициенты $(B_{1n}^{(1)})_2$ и $(B_{2n}^{(1)})_2$ в сечении I_2-I_2 являются линейной комбинацией коэффициентов $B_{1n}^{(1)}$ и $B_{2n}^{(1)}$ и, следовательно, коэффициентов $A_1^{(1)}$

$$(B_1^{(1)})_2 = (\Lambda_1^{(1)})_2 A_1^{(1)}, \quad (B_2^{(1)})_2 = (\Lambda_2^{(1)})_2 A_1^{(1)}, \quad (7)$$

где $(B_1^{(1)})_2$ и $(B_2^{(1)})_2$ — столбцы коэффициентов $(B_{1n}^{(1)})_2$ и $(B_{2n}^{(1)})_2$; $(\Lambda_1^{(1)})_2$ и $(\Lambda_2^{(1)})_2$ — квадратные матрицы, связанные с матрицами $\Lambda_1^{(1)}$ и $\Lambda_2^{(1)}$ следующими уравнениями:

$$\begin{aligned} (\Lambda_1^{(1)})_2 &= \frac{1}{2} (\Lambda_1^{(1)} + \Lambda_2^{(1)} K_{(1)0}^{-1}) E_{(1)} + \frac{1}{2} (\Lambda_1^{(1)} - \Lambda_2^{(1)} K_{(1)0}^{-1}) E_{(1)}^{-1}, \\ (\Lambda_2^{(1)})_2 &= \left[\frac{1}{2} (\Lambda_1^{(1)} + \Lambda_2^{(1)} K_{(1)0}^{-1}) E_{(1)} - \frac{1}{2} (\Lambda_1^{(1)} - \Lambda_2^{(1)} K_{(1)0}^{-1}) E_{(1)}^{-1} \right] K_{(1)0}. \end{aligned} \quad (8)$$

Здесь $K_{(1)0}$, $K_{(1)0}^{-1}$, $E_{(1)h}^{-1}$ — квадратные диагональные матрицы.

$$K_{10} = \begin{vmatrix} k_{m10}^{(1)} L_{12} & 0 & \dots & 0 \\ 0 & k_{m20}^{(1)} L_{12} & \dots & 0 \\ \dots & \dots & \dots & \dots \\ 0 & 0 & \dots & L_{12} k_{m(t-1)0}^{(1)} \end{vmatrix},$$

$$E_{(1)} = \begin{vmatrix} e^{ik_{m10}^{(1)} L_{12}} & 0 & \dots & 0 \\ 0 & e^{ik_{m20}^{(1)} L_{12}} & \dots & 0 \\ \dots & \dots & \dots & \dots \\ 0 & 0 & \dots & e^{ik_{m(t-1)0}^{(1)} L_{12}} \end{vmatrix},$$

$K_{(1)0}^{-1}$, $E_{(1)}^{-1}$ — соответствующие обратные матрицы.

Переходя, таким образом, от одного сечения к другому и учитывая условия на поверхности раздела ($A_1^{(2)} = \lambda (C_1^{(1)})_2$, $A_2^{(2)} = (C_2^{(1)})_2$) и в выходном сечении полости ($(C_2^{(2)})_3 - \frac{is}{\alpha_2} \beta_{\text{вых}} (C_1^{(2)})_3 = 0$), получим для коэффициентов $A_{1n}^{(1)}$ однородную систему линейных алгебраических уравнений порядка $(t-1)$

$$\Lambda_0 A_1^{(1)} = 0, \dots, \quad (9)$$

где Λ_0 — квадратная матрица с коэффициентами, зависящими от комплексной частоты s . Поскольку хотя бы один из коэффициентов $A_{1n}^{(1)}$ отличен от нуля (решение нетривиально), определитель матрицы Λ_0 равен нулю

$$\det \|\Lambda_0\| = 0. \quad (10)$$

Уравнение для частоты (10) имеет бесконечное счетное множество комплексных корней. Для каждого из них при заданных m можно построить распределение амплитуд и фаз колебаний давления и осевой

скорости в объеме полости, если задаться амплитудой колебаний давления в какой-либо точке объема (не на оси).

Построенное таким образом решение будем называть формой свободных колебаний газа в полости. Конкретные суждения о погрешности расчета получим, как это часто делают, не из теоретических оценок, а из сравнения между собой результатов расчета, выполненных с различным числом точек стыковки.

Далее введем безразмерные величины: относительная координата \bar{x} , относительные длины холодного и горячего участков и их секций (отнесенные к общей длине полости) $\varepsilon_j = L_j/L$, ε_{jl}/L , где L_j и L_{jl} — длины участков и соответствующих секций (см. рис. 1), j — индекс участка ($j=1, 2$), l — индекс секции ($l=1, 2, 3$), безразмерная частота $\bar{s} = s/s_r$, где $s_r = \pi\alpha_{11}/R \cdot a_2$ — частота первой формы тангенциальных колебаний в горячей части полости, $\beta = L/R$, $\lambda = T_2/T_1$.

Рассматривались возникающие часто в реактивных двигателях и наиболее опасные формы тангенциально-продольных колебаний, соответствующие двум наименьшим корням уравнения (10).

Расчеты проводились при неизменных параметрах $\lambda=4$, $\beta=2$, $\varepsilon_1=0,3$, $\varepsilon_2=0,7$, близких к соответствующим значениям в камерах сгорания реактивных двигателей. При расчетах амплитуда давлений относилась к наибольшей амплитуде давления (\dot{P}_{0-0}) во входном сечении полости у цилиндрической стенки, а амплитуда осевой скорости — к величине ($\dot{P}_{0-0}/\rho_1 a_1$), где ρ_1 и a_1 — плотность газа и скорость звука во входном сечении.

Акустические проводимости при входе и при выходе из камеры полагались равными нулю ($\beta_{\text{вх}} = \beta_{\text{вых}} = 0$). В реальных форсажных камерах ГТД $\beta_{\text{вх}}$ близко к нулю, поскольку газ поступает в камеру под большим (близким к критическому) перепадом давления, при этом средняя скорость в полости камеры остается незначительной. Вынос акустической энергии через сопло для тангенциально-продольных колебаний также ничтожно мал (т. е. $\beta_{\text{вых}} \approx 0$). Последнее доказано экспериментально и теоретически в работах [2, 3].

При расчетах необходимо учитывать существенную зависимость акустической проводимости поглотителя от частоты колебаний [4, 5]. В настоящей работе для этого применена известная методика расчета, изложенная в [4]. Уровень звука у поверхности поглотителя полагался равным 180 дБ, что соответствует развитым колебаниям в натуральных и модельных камерах сгорания. Давление и температура воздуха в полости поглотителя полагались равными 120 кПа и 293 К, соответственно.

Параметры исследуемых поглотителей подбирались так, чтобы коэффициент поглощения как для первой, так и для второй формы колебаний изменялся в достаточно широких пределах (от $\sim 0,15$ до 0,6), при этом модуль комплексной акустической проводимости поглотителей оказывался меньше 0,5 (что соответствует реальным акустическим поглотителям, устанавливаемым в форсажных камерах ГТД): поглотитель I — $d=2$, $\sigma=0,03$, $\text{Re } \beta_s = 0,241 \div 0,275$; $\text{Im } \beta_s = 0,062 \div 0,092$; поглотитель II — $d=4$ мм, $\sigma=0,03$, $\text{Re } \beta_s = 0,155 \div 0,195$, $\text{Im } \beta_s = -0,11 \div 0,123$; поглотитель III — $d=6$ мм, $\sigma=0,03$, $\text{Re } \beta_s = 0,098 \div 0,27$, $\text{Im } \beta_s = -0,1 \div -0,133$; поглотитель IV — $d=8$, $\sigma=0,05$, $\text{Re } \beta_s = 0,123 \div 0,476$, $\text{Im } \beta_s = -0,128 \div 0,21$; поглотитель V — $d=4$, $\sigma=0,01$, $\text{Re } \beta_s = 0,056 \div -0,089$, $\text{Im } \beta_s = -0,034 \div -0,04$. (Здесь d — диаметр отверстий в поглотителе, σ — проницаемость (отношение площади поверхностей к площади единичного резонатора, приходящейся на одно отверстие), $\text{Re } \beta_s$ и $\text{Im } \beta_s$ — действительная и мнимая части акустических проводимостей. Толщина стенки поглотителя (t_s) и зазор (h_s) между поверхностью поглотителя и наружной стенкой полости считались неизменными ($t_s=1$ мм, $h_s=10$ мм при радиусе полости $R=140$ мм).

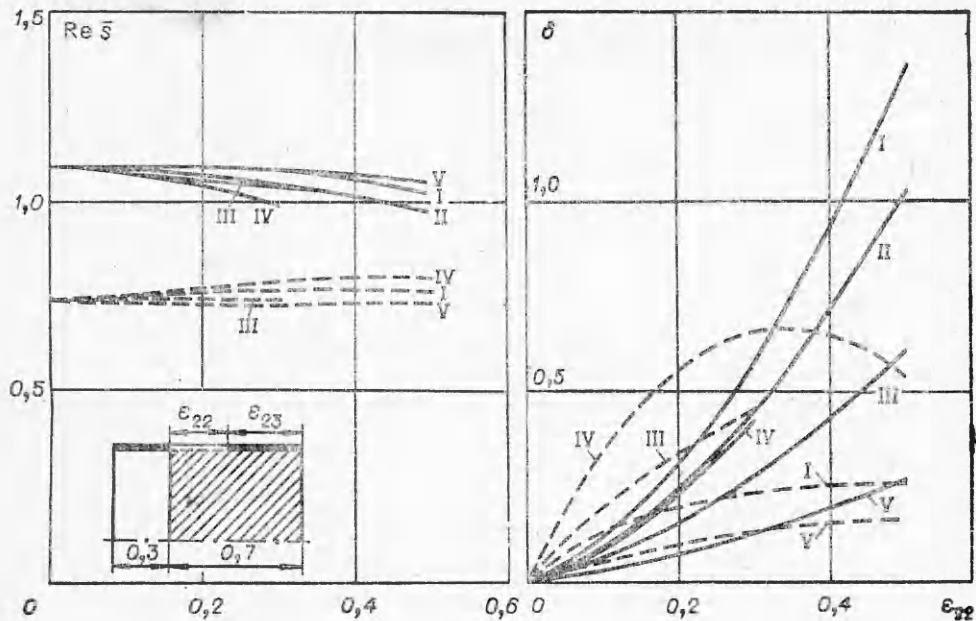


Рис. 2.

Результаты расчета частоты ($\text{Re } \bar{s}$) и логарифмического декремента (δ) обеих форм колебаний в полости с различными акустическими поглотителями, установленными в горячей части камеры, приведены на рис. 2. Штриховые линии относятся к первой форме колебаний, а сплошные — ко второй. Номера поглотителей помечены римскими цифрами. С увеличением относительной длины ε_{22} декремент, как правило, монотонно нарастает. Однако возможны случаи, когда с увеличением длины поглотителя декремент колебаний сначала нарастает, а затем уменьшается (штриховая кривая IV). Это объясняется изменением продольного распределения амплитуд колебаний давления у цилиндрической стенки, вызванным увеличением длины акустического поглотителя (рис. 3, а, первая форма колебаний, поглотитель IV, 1 — $\varepsilon_{22}=0$, 2 — $\varepsilon_{22}=0,1$; 3 — $\varepsilon_{22}=0,5$ и рис. 3б, вторая форма колебаний, поглотитель I, 1 — $\varepsilon_{22}=0$, 2 — $\varepsilon_{22}=0,1$; 3 — $\varepsilon_{22}=0,3$, 4 — $\varepsilon_{22}=0,5$). В результате этого изменения поглотитель оказывается в зоне меньших амплитуд колебаний давления и его эффективность падает.

С этим же обстоятельством связано различие в поведении штриховых кривых III и I на рис. 2 для поглотителей с примерно одинаковым

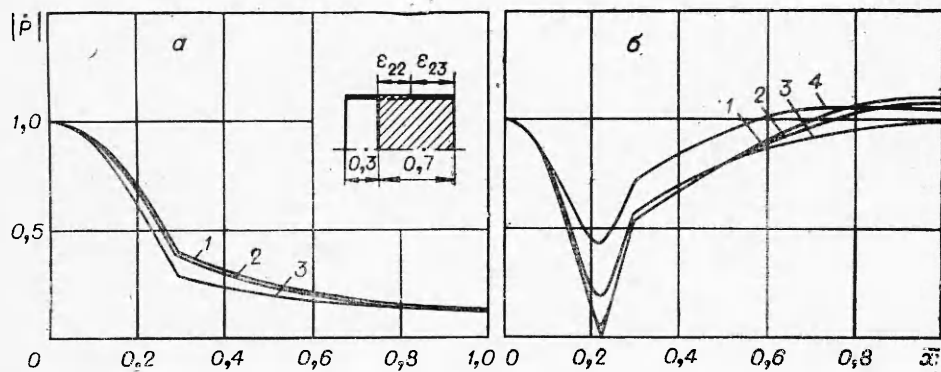


Рис. 3.

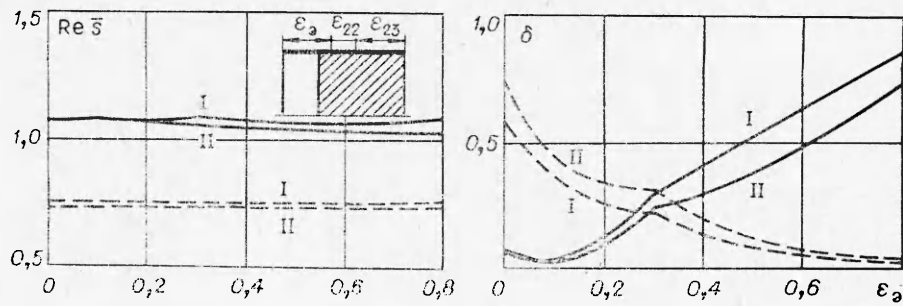


Рис. 4.

коэффициентом поглощения. Наибольшие изменения распределений амплитуд колебаний давления получаются для первой формы колебаний у поглотителя IV, для второй — у поглотителя II, которым соответствуют наибольшие значения логарифмических декрементов и коэффициентов поглощения. Постановка поглотителей с малой акустической проводимостью, а значит, и с малым коэффициентом поглощения, практически не приводит к изменениям распределений амплитуд колебаний давления и осевой скорости. Поскольку в полости с поглотителем появляется поток акустической энергии, направленный к поглотителю, амплитуда давления второй формы колебаний нигде не достигает нулевого значения (см. рис. 3, б, кривые 2—4), в то время как в полости без поглотителя всегда существует узел давления (кривая 1, рис. 3, б).

Влияние положения поглотителя на частоту ($\text{Re } \bar{s}$) и декремент (δ) первой (штриховые линии) и второй (сплошные линии) форм колебаний проиллюстрировано на рис. 4 для полостей с поглотителями I и II неизменной длины $\epsilon_{22} = 0,2$. По осям абсцисс отложено расстояние от входного сечения полости до начала поглотителя, отнесенное к общей длине полости ($\epsilon_2 = l_2/L$).

Частота как первой, так и второй формы колебаний при перемещении поглотителя изменяется незначительно. Относительное изменение частоты не превышает 4%. Логарифмический декремент обеих форм колебаний существенно нарастает по мере перемещения поглотителя в область больших значений амплитуд колебаний давления.

Суждения о точности предлагаемого метода расчета акустических полей свободных колебаний в полости с поглотителем можно сделать на основе сравнения ре-

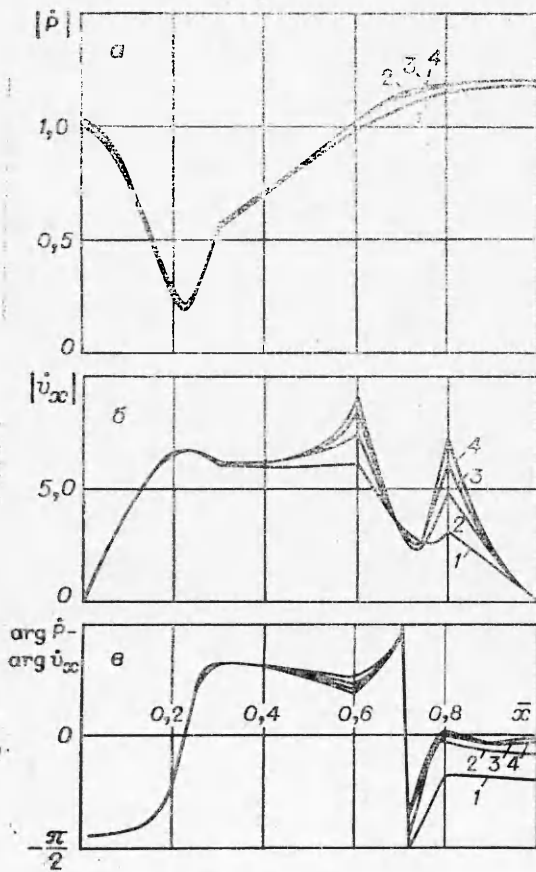


Рис. 5.

зультатов расчета, выполняемого с различным числом точек стыковки (t). Объем машинной памяти ЭВМ М-220 таков, что число точек стыковки не может превышать пяти. Кроме того, системы уравнений типа (4), которые приходится решать, становятся плохо обусловленными [6] и тем хуже, чем больше число точек стыковки. Это требует большой точности вычислений при расчетах распределений (но не частот). При $t=4$ и 5 вычислительные погрешности при расчете распределений еще незначительны.

Проведены расчеты обеих форм колебаний для полостей с различными поглотителями. Наибольшее влияние числа точек стыковки обнаружилось при расчетах второй формы колебаний в полости с поглотителем I , обеспечивающим наибольший логарифмический декремент. Результаты расчетов распределений амплитуд давлений $|P|$ и осевых скоростей $|\dot{v}_x|$, а также разности фаз $\Phi = \arg P - \arg \dot{v}_x$ у цилиндрической стенки полости для $t=2, 3, 4, 5$ приведены на рис. 5. Относительная длина и местоположение поглотителя принимались следующими: $\epsilon_{22} = 0,2$; $\epsilon_3 = 0,6$. Распределения амплитуд давления изменяются незначительно. Распределения амплитуд осевой скорости и разности фаз при $t=2$ и 3 несколько отличаются друг от друга (рис. 5, б, в, кривые 1 и 2) в особенности на участке полости с поглотителем. При $t \geq 3$ это отличие незначительно (рис. 5, б, в, кривые 3, 4).

Автор признателен В. Е. Дорошенко и В. П. Эпштейну за обсуждение результатов и помощь при постановке задачи.

Поступила в редакцию
26/X 1976,
после доработки — 13/XII 1976

ЛИТЕРАТУРА

1. Ф. М. Морз, Г. Фешбах. Методы теоретической физики. Т. I и II. М., ИЛ, 1960.
2. А. Н. Руденко, И. С. Шлыкова, В. Л. Эпштейн. Акустический журнал, 1974, XX, 4.
3. А. Н. Руденко. Акустический журнал, 1974, XX, 6.
4. A. W. Blackman. ARS J., 1960, 30, 11.
5. U. Ingard, H. Ising. JASA, 1967, 42, 1.
6. Дж. Форсайт, К. Молер. Численное решение систем линейных алгебраических уравнений. М., «Мир», 1969.

НЕРАВНОВЕСНАЯ РЕАКЦИЯ МЕЖДУ N₂O И CO В УДАРНЫХ ВОЛНАХ

И. С. Заслонко, Е. В. Мозжухин, Ю. К. Мукосеев, В. Н. Смирнов

(Москва)

Неравновесные особенности реакций распада подробно изучены на примере HN₃, NO и других молекул [1—3]. Значительно большей сложностью отличаются процессы, протекающие в двухкомпонентных системах. Изучение неравновесных энергетических распределений в таких реакциях представляет сложную задачу. Для такого исследования наиболее удобна реакция N₂O с CO. Кинетика ее в равновесных условиях